

Poly(methyl methacrylate)와 Polystyrene의 Polyarylate와의 상용성에 관한 연구

안 태 원 · 정 한 모* · 이 석 민 · 이 용 준
서울대학교 공업화학과 · *울산대학교 화학과
(1988년 6월 12일 접수)

Miscibility of Poly(methyl methacrylate) and Polystyrene with Polyarylate

Tae-Oan Ahn, Han-Mo Jeong*, Suk-Min Lee, and Yong-Joon Lee
Dept. of Chemical Technology, Seoul National University, Seoul 151-742, Korea
**Dept. of Chemistry, University of Ulsan, Ulsan 680-749, Korea*

(Received June 12, 1988)

요 약 : Poly(methyl methacrylate) (PMMA)와 polystyrene(PS)의 polyarylate(PAR)와의 상용성을 구성 고분자의 분자량과 조성을 변화시키면서 유리전이온도(T_g)의 변화로 부터 관찰하였다. PMMA / PAR, PS / PAR 계 모두 부분적 상용성을 보였으며 PAR-rich상 중에 PMMA가 높아 들어가는 정도는 PMMA의 분자량이 50,000-150,000 범위에서 약 10wt.% 정도의 큰 변화를 보이는데 반해 PAR-rich 상중에 PS가 높아 들어가는 정도는 PS 분자량이 30,000-300,000의 범위에서 변화하여도 큰 변화를 보이지 않았다. 또 PAR의 조성이 많은 경우(70-80wt.%) PMMA-rich 상과 PS-rich상은 1μ 크기 정도의 입자로 PAR-rich상 중에 분산하고 있음을 주사전자현미경에서 관찰할 수 있었다.

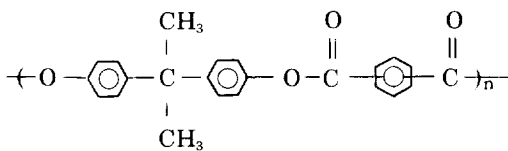
Abstract : The miscibility behaviors of poly(methyl methacrylate) (PMMA) and polystyrene (PS) with polyarylate (PAR) were studied by observing the change of glass transition temperature (T_g) in the blends. PMMA / PAR and PS / PAR blends had both a partial miscibility showing two separate T_g 's slightly migrated toward each other. The PMMA contents in PAR-rich phase changed about 10wt.% with the molecular weight of PMMA (\bar{M}_w of PMMA: 50,000-150,000), but the PS contents in PAR-rich phase did not change so much with the molecular weight of PS (\bar{M}_w of PS: 30,000-300,000). When the composition of PAR in blends was in the range of 70-80wt.%, the dispersed particles of PMMA-rich and PS-rich phase had the diameter of about 1μ .

서 론

사의 Durel등이 시판되고 있으며, 이는 bisphenol-A를 terephthalic acid와 isophthalic acid의 혼합물(몰비 1:1)과 중합시켜 만든 아래와 같은 구조의 고분자로 고분자 쇄의 대부분이 벤젠 링으로

Polyarylate(PAR)는 1970년대에 공업화 되어 Unitika사의 U-polymer, Bayer사의 APE, Hooker

구성되어 있어 기계적 성질, 내열성, 난연성 등이 뛰어나 poly(phenylene sulfide), poly(ether sulfone), poly(ether ether ketone), poly(ether imide) 등과 함께 고기능성 엔지니어링 플라스틱으로 그 사용 범위가 확장되고 있는 고분자 물질이다.^{1~3}



최근 고분자 재료의 수요가 다양, 특수화 됨에 따라 기존의 고분자를 블렌드하는 방법이 많이 이용되고 있는데, PAR도 딴 고분자와 블렌드하여 사용 용도를 확장코자 하는 노력이 계속되고 있다.⁴ PAR의 경우 poly(ethylene terephthalate),⁵ poly(butylene terephthalate),⁶ polycarbonate (PC)^{7,8} 등의 polyester류와의 블렌드에 관한 연구가 주를 이루며, 스티렌 혹은 아크릴계의 범용 고분자와의 블렌드에 관한 연구 결과는 비교적 한정되어 있다.⁴

최근 Kurauchi 등에⁹ 의해 PC, 나일론 등의 ductile matrix에 poly(methyl methacrylate) (PMMA), polystyrene(PS), SAN 등의 brittle particle을 분산시켜 내충격성을 향상시키는 방법이 제안되고 있는데¹⁰ PAR과 비슷한 구조인 PC의 PMMA, PS, SAN 등과의 상용성에 관한 연구는 비교적 상세히 보고되어 있으나,^{11~14} PAR의 경우는 PMMA 와 부분적 상용성을 가짐이 간단히 보고 되었으나,⁴ 그 밖의 연구 결과들은 아직 보고된 바 없다.

따라서 본 논문에서는 PAR과 brittle한 고분자인 PMMA, PS의 상용성을 블렌드물 중 구성 고분자의 조성과 분자량을 변화시키면서 유리전이온도(T_g)로부터 관찰하고, 블렌드물의 파쇄단면의 morphology를 주사전자현미경으로 관찰하여 이들 블렌드물의 이용에 관한 기본 자료를 얻었다.

실험

고분자 물질

PAR은 일본 Unitika사의 U-100, PMMA는 일본 Mitsubishi Rayon사의 Shinkolite MDP를 분자량 별로 분별하여 사용하였으며, PS는 괴상 중합하여 사용하였다. 분별은 용매로 methylene chloride를, 비용매로 methanol을 사용하여 fractional precipitation 방법으로 하였다.¹⁵ 사용한 고분자의 분자량은 tetrahydrofuran에 녹여 GPC(Waters-150C)를 사용하여 25°C에서 측정하였으며, PS 표준물질에 대한 상대 값을 Table 1에 나타내었다.

블렌딩

PMMA와 PAR의 블렌딩은 solution / casting 방법으로 하였다. 즉 해당 조성의 고분자 1.0g을 methylene chloride 10.0mL에 녹인 후 40°C 상온에서 용매를 날려 보내 블렌드물을 얻었다. 한편 PS와 PAR의 블렌드물은 용매로 methylene chloride, 비용매로 methanol을 사용하여 elution / precipitation 방법으로 얻었다. 얻어진 블렌드물은 80°C 진공건조기에서 24시간 이상 건조 한 후 측정에 사용하였다.

Differential Scanning Calorimetry(DSC)

블렌드물의 T_g 는 DSC(Perkin Elmer DSC-4)로 측정하였다. 즉 시료 12±0.1mg을 알루미늄 팬에 넣고 약 260°C로 조절된 열판 위에서 녹여

Table 1. Molecular Weight of Polymer Used

Polymer	\bar{M}_n	\bar{M}_w
PMMA-1	108,000	154,800
PMMA-2	76,700	99,900
PMMA-3	34,800	71,000
PMMA-4	17,500	49,300
PS-1	90,700	363,600
PS-2	10,000	27,900
PS-3	4,500	5,900
PS-4	3,800	4,200
PAR-1	56,000	105,300
PAR-2	22,800	47,300
PAR-3	18,000	40,500
PAR-4	12,100	24,000

필름상으로 만들고 상온으로 식혀, 다시 DSC에서 250°C에서 1분간 가열한 후 최대속도(320°C/min)로 냉각한 후, 20°C/min로 승온시키면서 열용량 변화의 중간지점을 T_g 로 하였다.

주사전자현미경(SEM)

Casting에서 얻어진 PMMA / PAR 블렌드물은 그대로, solution / precipitation 방법으로 얻은 PS / PAR 블렌드물은 285°C에서 용융시킨 후 상온으로 서서히 식힌 뒤, 액체 질소에 담궈 냉각시킨 후 파쇄시키고 그 단면을 관찰하였다. 파쇄단면은 Jeol사의 ion sputter(JFC-1100)을 사용하여 금피막을 입힌 뒤 Jeol사의 SEM(JSM-35CF)으로 관찰하였다.

결과 및 고찰

유리전이온도(T_g)

PMMA / PAR 블렌드물을 DSC에서 20°C/min로 승온시키면서 T_g 를 측정한 결과 두개의 독립된 T_g 가 나타남을 볼 수 있었으며, 이를 Table 2에 나타내었다. 이로부터 PMMA-rich상의 T_g 는 PAR의 함량이 증가함에 따라 증가하며 PAR-rich상의 T_g 는 PMMA의 함량이 증가함에 따라 감소하였다 증가하는 부분적 상용성을 볼 수 있다.

한편 Table 2에 나타낸 T_g 변화로 부터 PMMA-

Table 2. Glass Transition Temperature of PMMA / PAR Blend

Blend	Wt. Fraction of PMMA	T_g , PMMA (K)	T_g , PAR (K)
PMMA-1 / PAR-3	1.00	387.5	—
	0.80	389.0	472.5
	0.60	389.5	472.5
	0.40	391.0	472.0
	0.20	391.5	472.0
	0.00	—	473.0
PMMA-2 / PAR-3	1.00	384.5	—
	0.80	385.0	470.0
	0.60	387.0	469.5
	0.40	387.0	468.0
	0.20	388.0	468.5
	0.00	—	473.0
PMMA-3 / PAR-3	1.00	380.5	—
	0.80	381.5	467.0
	0.60	382.5	466.5
	0.40	383.0	465.5
	0.20	384.0	466.0
	0.00	—	473.0
PMMA-4 / PAR-3	1.00	376.0	—
	0.80	377.0	464.0
	0.60	378.0	464.0
	0.40	379.0	462.0
	0.20	380.0	462.5
	0.00	—	473.0

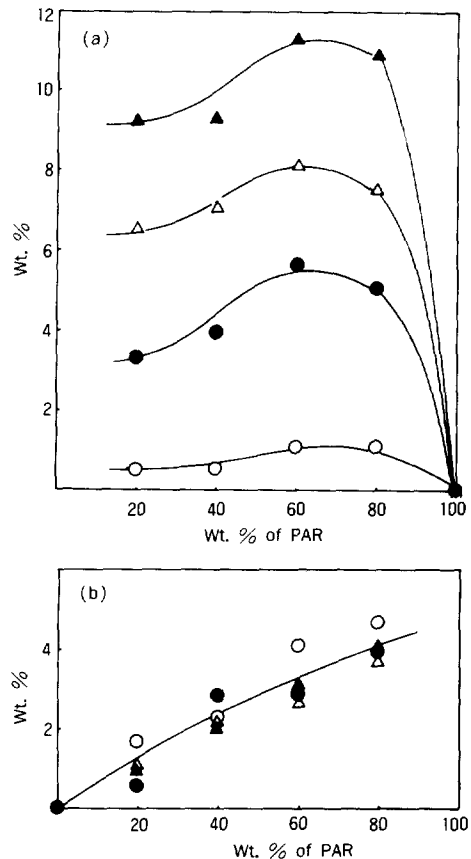


Fig. 1. Wt. % of (a)PMMA in PAR-rich phase and (b)PAR in PMMA-rich phase : (○) PMMA-1 / PAR-3, (●)PMMA-2 / PAR-3, (△)PMMA-3 / PAR-3, (▲)PMMA-4 / PAR-3.

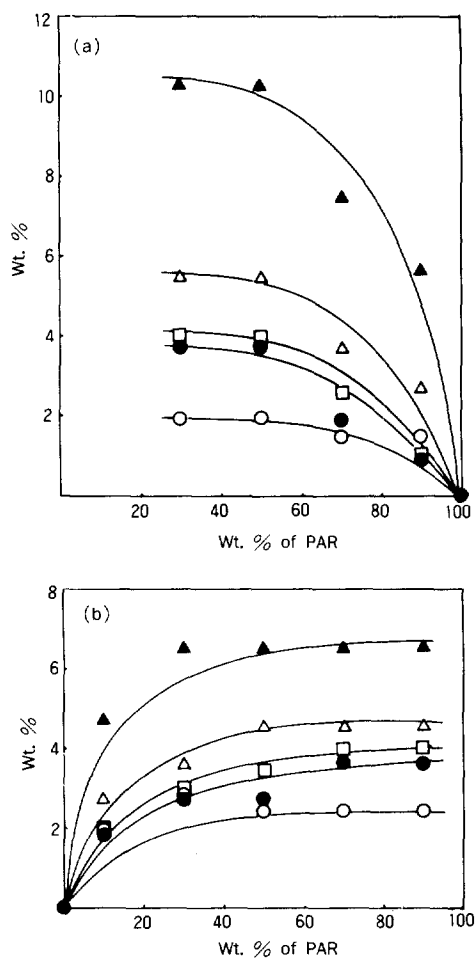


Fig. 2. Wt. % of (a)PS in PAR-rich phase and (b)PAR in PS-rich phase : (○)PS-1 / PAR-1, (●)PS-2 / PAR-1, (□)PS-2 / PAR-2, (△)PS-3 / PAR-2, (▲)PS-4 / PAR-4.

rich상과 PAR-rich 상에서 각 구성 고분자의 함량을 다음 Wood식 [식(1)]을 이용하여 구할 수 있다.^{16,17}

$$T_g'_{\text{b}} = w_1' T_{g1} + w_2' T_{g2} \quad (1)$$

식(1)과 다음 식들에서 T_g 는 유리전이온도, w 는 중량분율, 아래에 쓴 문자 b, 1, 2는 각각 블렌드, PMMA, PAR을 나타내고, '과'는 각각 블렌드물의 PMMA-rich상, PAR-rich상을 나타낸다. 식 (1)을 정리하면 다음 식(2)를 얻을 수 있고,

Table 3. Glass Transition Temperature of PS / PAR Blend

Blend	Wt. Fraction of PS	T_g , PS (K)	T_g , PAR (K)
PS-1 / PAR-1	1.00	379.0	—
	0.90	381.0	—
	0.70	382.0	480.0
	0.50	381.5	480.0
	0.30	381.5	480.5
	0.10	381.5	480.5
	0.00	—	482.0
PS-2 / PAR-1	1.00	374.0	—
	0.90	376.0	—
	0.70	377.0	478.0
	0.50	377.0	478.0
	0.30	378.0	480.0
	0.10	378.0	481.0
	0.00	—	482.0
PS-2 / PAR-2	1.00	374.0	—
	0.90	376.0	—
	0.70	377.0	470.0
	0.50	377.5	470.0
	0.30	378.0	471.5
	0.10	378.0	473.0
	0.00	—	474.0
PS-3 / PAR-2	1.00	365.0	—
	0.90	368.0	—
	0.70	369.0	468.0
	0.50	370.0	468.0
	0.30	370.0	470.0
	0.10	370.0	471.0
	0.00	—	474.0
PS-4 / PAR-4	1.00	354.0	—
	0.90	359.0	—
	0.70	361.0	450.0
	0.50	361.0	450.0
	0.30	362.0	453.0
	0.10	362.0	455.0
	0.00	—	461.0

마찬가지로 PAR-rich상에 대해서도 식 (3)을 얻을 수 있다.

$$w_2' = \frac{T_{g1} - T_{gb}}{T_{g1} - T_{g2}} \quad (2)$$

$$w_1'' = \frac{T_{gb} - T_{g2}}{T_{g1} - T_{g2}} \quad (3)$$

식(2), (3)으로부터 PAR-rich상 중의 PMMA 함량과 PMMA-rich상 중의 PAR의 함량을 계산하여 Fig. 1에 도시하였다. 이로부터 PMMA의 \bar{M}_w 가 50,000-150,000의 비교적 좁은 범위에서 변화하는 경우 PAR-rich상의 PMMA의 함량이 큰 폭으로 변화하고 있는데 반해 PMMA-rich상의 PAR의 함량은 거의 변화가 없음을 볼 수 있다. 또 PMMA-1을 사용한 경우를 제외하고는 PAR-rich상 중의 PMMA의 함량이 PMMA-rich상 중의 PAR의 함량보다 큰 값을 가지며 이러한 경향은 PMMA의 분자량이 작은 경우 더 뚜렷이 관찰할 수 있으며, 이는 PMMA / PC 블렌드물에서의 결과와 동일하다.¹⁶

한편 PS / PAR 블렌드물의 경우도 DSC에서 20°C / min로 승온시키면서 T_g 를 측정한 결과 두 개의 독립된 T_g 가 나타남을 볼 수 있었으며 이

를 Table 3에 나타내고 식(2), (3)을 사용하여 PMMA / PAR 블렌드물과 동일한 방법으로 계산한 결과를 Fig. 2에 도시하였는데, 이 경우도 PS-rich상의 T_g 는 PAR의 함량이 증가함에 따라 증가하며 PAR-rich상의 T_g 는 PS의 함량이 증가함에 따라 감소하는 부분적 상용성을 볼 수 있다. 그러나 이 경우는 PS의 \bar{M}_w 가 30,000-300,000의 큰 범위에서 변화하여도 PS-rich상의 PAR, PAR-rich 상의 PS의 함량 모두가 큰 변화가 없음을 볼 수 있으며, PAR-rich상의 PS함량의 증가는 PS의 \bar{M}_w 가 10,000 이하인 경우에야 크게 나타남을 볼 수 있다. 이상의 결과는 PMMA / PAR 블렌드의 상용성이 PS / PAR 블렌드보다 구성고분자의 분자량의 변화에 예민함을 보여준다.

주사전자현미경(SEM)

Fig. 3에 PMMA-2와 PAR-3의 블렌드물의 구

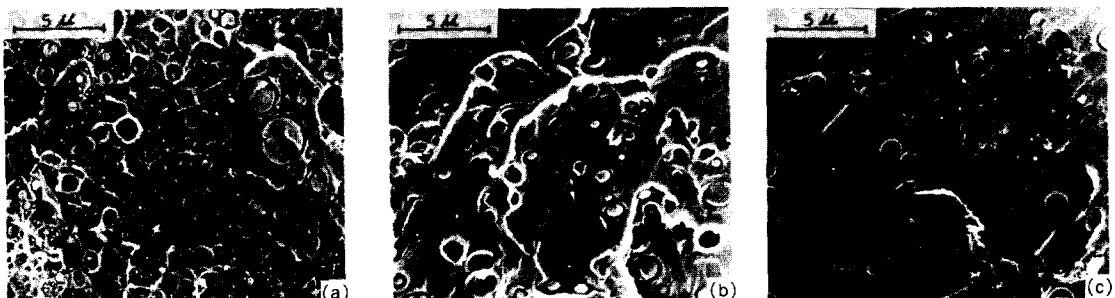


Fig. 3. Scanning electron micrographs obtained from cryogenically fractured cross-sectional surfaces of PMMA-2 / PAR-3 blends : (a)20 / 80, (b)40 / 60, (c)80 / 20.

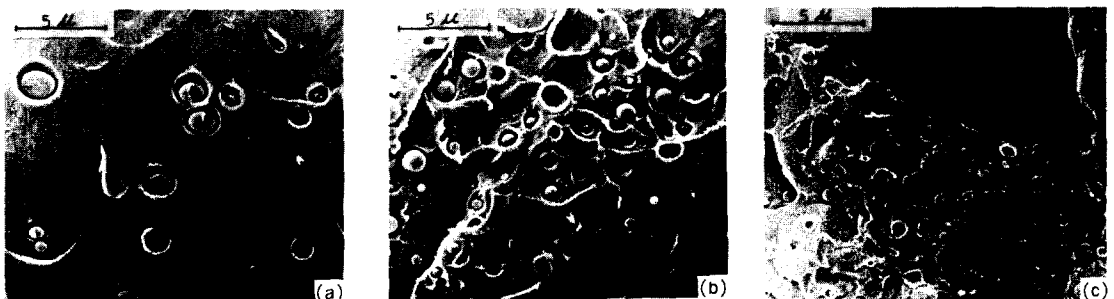


Fig. 4. Scanning electron micrographs obtained from cryogenically fractured cross-sectional surfaces of PMMA / PAR-3(80 / 20) blends : (a)PMMA-1, (b)PMMA-3, (c)PMMA-4.



Fig. 5. Scanning electron micrographs obtained from cryogenically fractured cross-sectional surfaces of PS / PAR(30 / 70) blends : (a)PS-2 / PAR-1, (b)PS-3 / PAR-2, (c)PS-4 / PAR-4.

성 고분자의 조성변화에 따른 morphology의 변화를 나타내었는데, PAR-3의 함량이 많은 경우 1μ 이하의 PMMA-rich상의 입자가 다수 분산되어 있는 미세한 분산상태를 보이나 PMMA-2의 함량이 증가함에 따라 분산입자의 크기가 증가하면서 갯수가 감소하는 경향을 보이고 있다. 한편 Fig. 4에서는 분산 PAR-rich상의 입자크기가 PMMA의 분자량이 작을수록 감소하는 경향을 볼 수 있으며 이는 앞에서 T_g 변화로 부터 관찰한 상용성의 결과와 일치한다.

Fig. 5에는 PS / PAR(30 / 70) 블렌드물의 구성 고분자의 분자량 변화에 따른 morphology의 변화를 나타내었는데 (a)와 (b)에서 PS-rich상의 입자가 1μ 정도의 크기로 분산하고 있으며, 구성 고분자의 분자량이 매우 작은 (c)의 경우 1μ 이하의 크기를 가짐을 볼 수 있다.

결 론

PAR-rich상 중에 PMMA가 녹아 들어가는 정도는 PMMA의 분자량이 50,000-150,000 범위에서 비교적 예민하게 변화하는데 비해 PAR-rich상 중에 PS가 녹아 들어가는 정도는 PS분자량이 30,000-300,000의 범위에서 변화하여도 큰 변화를 보이지 않았다. 또 PAR의 조성이 많은 경우 (70-80wt. %) PMMA-rich상과 PS-rich상은 1μ

크기 정도의 입자로 PAR-rich상 중에 분산하고 있음을 볼 수 있었다.

이 연구는 1987년도 문교부 첨단 공학(신소재 분야) 학술 연구 조성비 의하여 수행 되었음.

참 고 문 헌

1. 安江健治, 岡林義雄, 工業材料, **33**, 59(1985).
2. O. Doi, *Plastics*, **37**, 57(1986).
3. K. Yasue, *Plastics*, **37**, 112(1986).
4. J. I. Eguiazábal, M. E. Calahorra, M. M. Cortázar, and J. J. Iruin, *Polym. Eng. Sci.*, **24**, 608(1984).
5. M. E. Calahorra, J. I. Eguiazábal, M. Cortázar, and G. M. Guzmán, *Polym. Commun.*, **28**, 39(1987).
6. A. Ausín, I. Eguiazábal, M. E. Muñoz, J. Peña, and A. Santamaría, *Polym. Eng. Sci.*, **27**, 529(1987).
7. A. Golovoy, M. F. Cheung, and H. Van Oene, *Polym. Eng. Sci.*, **27**, 1642(1987).
8. I. Mondragon and J. Nazabal, *Polym. Eng. Sci.*, **25**, 178(1985).
9. T. Kurauchi and T. Ohta, *J. Mater. Sci.*, **19**, 1669(1984).

Polyarylate의 상용성

10. J. C. Angola, Y. Fujita, T. Sakai, and T. Inoue, *J. Polym. Sci., Polym. Phys.*, **26**, 807 (1988).
11. W. N. Kim and C. M. Burns, *J. Appl. Polym. Sci.*, **34**, 945(1987).
12. T. Kyu and J. M. Saldanha, *J. Polym. Sci., Polym. Lett.*, **26**, 33(1988).
13. G. C. Eastmond, M. Jiang, and M. Malinconico, *Br. Polym. J.*, **19**, 275(1987).
14. K. E. Min and D. R. Paul, *Macromolecules*, **20**, 2828(1987).
15. J. F. Rabek, *Experimental Methods in Polymer Chemistry*, p.62, John Wiley & Sons, Chichester, 1980.
16. W. N. Kim and C. M. Burns, *Macromolecules*, **20**, 1876(1987).
17. L. A. Wood, *J. Polym. Sci.*, **28**, 319(1958).